

## 包絡線の相関パラメータの統計的変動性

鳥取大学工学部 正員 ○太田 隆夫  
鳥取大学工学部 正員 木村 晃

## 1. はじめに

海の波は不規則であり、有限な長さの波形のデータから求められた平均波高や平均周期などの統計量は、確定値ではなく変動性を有する。合田(1985)は不規則波形の数値シミュレーションを行ない、波高および周期の代表値、波高の連長などの変動性について検討している。波高の連長を支配するパラメータである包絡線の相関パラメータも波形のデータから求められる統計量であるが、その変動性については明らかにされていない。本研究では、数値シミュレーションにより相関パラメータの分散値、頻度分布、および変異係数について検討を行なう。

## 2. 相関パラメータの変動性

包絡線の相関パラメータ $\kappa$ は次式により求められる(Battjesら, 1984)。

$$\kappa = \sqrt{\mu_{13}^2 + \mu_{14}^2} / m_0 \quad (1) \quad \text{ここに, } \mu_{13} = \int_0^{\infty} S(f) \cos(2\pi ft) df, \quad \mu_{14} = \int_0^{\infty} S(f) \sin(2\pi ft) df$$

$S(f)$ は不規則波の周波数スペクトル、 $m_n$ は周波数スペクトルの $n$ 次モーメント、 $\tau$ は時間差パラメータであり、ここでは次式で与えられる平均周期を用いる。

$$T_{02} = \sqrt{m_0 / m_2} \quad (2)$$

有限な長さのデータから推定される $S(f)$ は、次式で表される自由度 $n$ のカイ2乗分布に従う変動性を有する。

$$p(c) = \frac{1}{2^{n/2} \Gamma(n/2)} c^{(n/2-1)} \exp(-c/2) \quad (3)$$

ここに、 $\Gamma$ はガンマ関数である。式(3)の $n$ の値はスペクトル推定の自由度であり、この $S(f)$ の変動性のために $\mu_{13}$ 、 $\mu_{14}$ および $\kappa$ も変動する。これらの値の変動性を検討するため不規則波形の数値シミュレーションを行ない、その波形より推定した $S(f)$ を用いて $\mu_{13}$ 、 $\mu_{14}$ および $\kappa$ を求めた。

## 3. 数値シミュレーション

不規則波形のシミュレーションは逆FFT法を用い、期待スペクトルのピーク周波数を $f_p=1.0\text{Hz}$ 、ピーク値を $S(f_p)=1.0$ 、サンプリング間隔を $\Delta t=0.05\text{s}$ 、水位の計算点数を $N=2048$ として、これを1000回行なった。期待スペクトルとしてはWallopsスペクトルを用い、形状パラメータを $m=5, 7, 10, 15, 20$ の5ケースとした。不規則波形を計算する際には、各周波数の成分波の振幅が自由度2のカイ2乗分布となるように与えて、波浪統計量の変動性を再現できるようにした。図-1に、シミュレートした波形から推定した $S(f_p)$ の値の分布をヒストグラムで表した。これは $m=5$ 、スペクトル推定の自由度が10の場合であり、実線で示した自由度10のカイ2乗分布とよく一致している。 $m=7, 10, 15, 20$ のスペクトルについても同様の結果を得た。ただし、カイ2乗分布と比較する際には、推定した $S(f_p)$ の平均値がカイ2乗分布の平均値に等しくなるように補正した。

## 4. 結果

図-2に、期待スペクトルの形状パラメータ $m$ と $\kappa$ の分散値との関係を示す。 $m$ が大きくなる、すなわちスペクトルが狭帯域になるにつれ、 $\kappa$ の分散値が減少する傾向が見られる。図-3にはシミュレートした $\kappa$ の頻度分布をヒストグラムで示した。(a)が $m=5$ 、(b)が $m=10$ 、(c)が $m=20$ の場合で、いずれもスペクトル推定の自由度は10である。各図中の実線は、シミュレートした $\kappa$ に等しい平均値と分散値をもつ正規分布である。また、図-4の○は、水位の計算点数を $N=1024, 2048, 4096, 8192$ として各1000回ずつ波形をシミュレートしたときのそれぞれの平均波数(ゼロダウンクロス法による)と $\kappa$ の変異係数 $C.V.[\kappa]$ との関係を示したもので、 $m=5$ の場合である。合田(1985)

は、ほとんどの波浪統計量の変動性が波数 $N_0$ の-1/2乗に比例することから、統計量 $x$ に対して

$$C.V. [x] = \alpha / \sqrt{N_0} \quad (4)$$

として比例係数 $\alpha$ の値を示している。図-4の●は、 $m=5$ の場合の波数 $N_0$ と $\kappa$ の変異係数に対する $\alpha$ との関係を示したものであり、おおよそ1.2の一定値となっている。

参考文献：合田(1985)，港研報告，第24巻，第4号，pp. 65-102. Battjes, J.A. and G. Ph. van Vledder (1984), Proc. 19th ICCE, pp. 642-648.

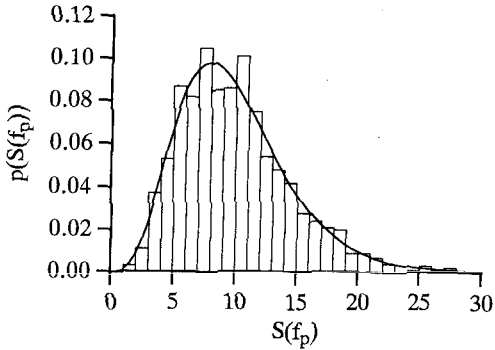


図-1 スペクトルのピーク値の分布

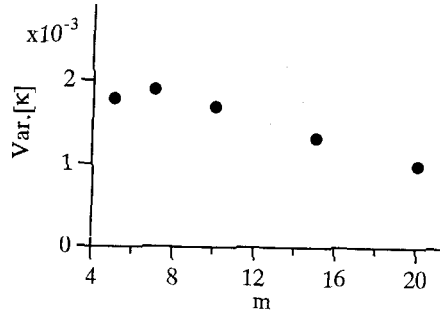


図-2 相関パラメータの分散値

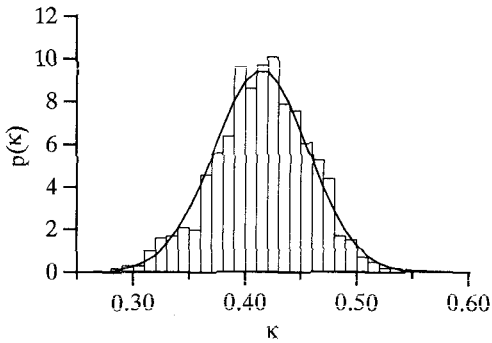


図-3(a) 相関パラメータの分布 ( $m=5$ )

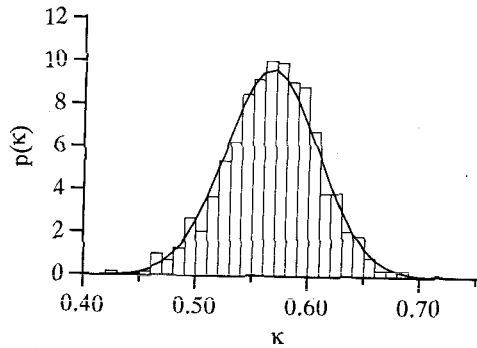


図-3(b) 相関パラメータの分布 ( $m=10$ )

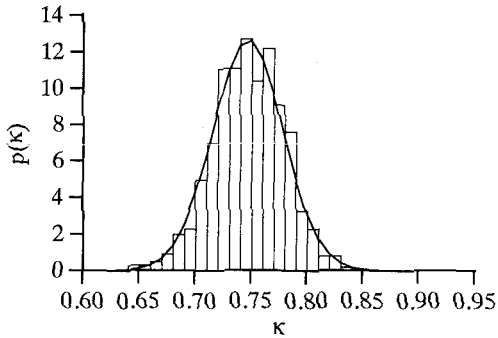


図-3(c) 相関パラメータの分布 ( $m=20$ )

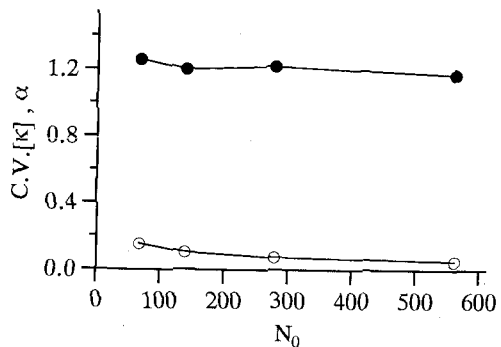


図-4 相関パラメータの変異係数とその比例係数 ( $m=5$ )